

T- 647

**ОБЪЕДИНЕННЫЙ ИНСТИТУТ ЯДЕРНЫХ ИССЛЕДОВАНИЙ  
ЛАБОРАТОРИЯ ЯДЕРНЫХ ПРОБЛЕМ**

**6 - 8062**

**ТОШЕВ Мухиддин**

**ИССЛЕДОВАНИЕ СВОЙСТВ ВОЗБУЖДЕННЫХ  
СОСТОЯНИЙ АТОМНЫХ ЯДЕР, БЛИЗКИХ**

**К МАГИЧЕСКОМУ N=50**

**Специальность 01.04.16-физика атомного  
ядра и космических лучей**

**Автореферат диссертации на соискание ученой степени  
кандидата физико-математических наук**

**(Диссертация написана на русском языке)**

Работа выполнена в Лаборатории ядерных проблем  
Объединенного института ядерных исследований, г.Дубна.

Научные руководители:

доктор физико-математических наук, профессор А.А.АБДУРАЗАКОВ,  
( Таш.ГУ )

кандидат физико-математических наук Я.ЛИПТАК.  
( ОИЯИ )

Официальные оппоненты:

доктор физико-математических наук Е.П.ГРИГОРЬЕВ,  
( ЛГУ )

кандидат физико-математических наук, доцент Р.Х.САФАРОВ.  
( Сам.ГУ )

Ведущее научно-исследовательское учреждение:

Институт ядерной физики АН Уз.ССР.

Автореферат разослан " " 1974 года  
Защита диссертации состоится " " 1974 года в час.  
на заседании Совета по присуждению ученых степеней физического  
факультета Ташкентского ордена Трудового Красного Знамени  
государственного университета им.В.И.Ленина ( г.Ташкент, ГСП,  
Вузгородок, Таш.ГУ , физический факультет, ауд.215 ).

Отзывы о диссертации просим направлять по адресу: 700095  
г.Ташкент ГСП, Вузгородок, Таш.ГУ им.В.И.Ленина, главный корпус,  
ученому секретарю.

С диссертацией можно ознакомиться в научной библиотеке Таш.ГУ.

Ученый секретарь Совета  
доцент РЕВЗИН Л.С.

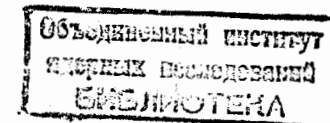
6 - 8062

ТОШЕВ Мухиддин

ИССЛЕДОВАНИЕ СВОЙСТВ ВОЗБУЖДЕННЫХ  
СОСТОЯНИЙ АТОМНЫХ ЯДЕР, БЛИЗКИХ  
К МАГИЧЕСКОМУ N=50

Специальность 01.04.16-физика атомного  
ядра и космических лучей  
Автореферат диссертации на соискание ученой степени  
кандидата физико-математических наук

(Диссертация написана на русском языке)



Изучение ядер стронция ( $Sr$ ) и циркония ( $Zr$ ), расположенных вблизи магического  $N=50$  представляет большой интерес с точки зрения развития различных современных моделей, привлекаемых для объяснения свойств основных и возбужденных состояний сферических ядер. Принято считать, что эти ядра имеют равновесную сферическую форму (по крайней мере, в основном состоянии). Изучение этой области ядер расширяет пределы ядерно-спектрологических исследований, проведенных в течение многих лет на базе синхроциклотрона ОИЯИ<sup>1/1</sup>, и является частью работ, выполняемых по программе ЯСНАПП (ядерная спектроскопия на протонном пучке)<sup>2,3/</sup>.

Настоящая работа посвящена исследованию методами ядерной спектроскопии свойств ядер  $^{83}Sr_{45}$ ,  $^{87}Zr_{47}$ ,  $^{89}Zr_{49}$  и  $^{88}Zr_{48}$ , состояния которых возбуждаются при бета-распаде изомерных и основных состояний изотопов  $^{83}Y_{44}$ ,  $^{87}Nb_{46}$ ,  $^{89}Nb_{48}$  и  $^{88}Nb_{47}$ , соответственно.

Диссертация состоит из введения, четырех глав и заключения.

В первой главе рассматриваются методические вопросы эксперимента. Показаны способы получения радиоактивных источников для проведения исследований и кратко описаны использованные в работе аппаратура и методы обработки экспериментальных результатов.

Радиоактивный источник  $^{83}Y$  получался двумя путями:

а) в реакции  $^{75}As(^{12}C, 4n)^{83}Y$ , при облучении мишени  $As_2S_3$  ионами  $^{12}C$  с энергией 73 Мэв ( $I_{^{12}C} = 2 \cdot 10^{11}$  част./сек), на выведенном пучке тяжелых ионов Лаборатории ядерных реакций ОИЯИ;

б) в реакции глубокого расщепления, при облучении мишени  $\text{Mo}$  протонами с энергией 660 Мэв ( $I_p = 4 \cdot 10^{11} \text{ p/сек}$ ), на выведенном пучке синхроциклотрона Лаборатории ядерных проблем ОИЯИ, с последующим разделением по изобарам на электромагнитном масс-сепараторе.

Изотопы  $^{87}\text{Nb}$ ,  $^{88}\text{Nb}$  и  $^{89}\text{Nb}$  получались в реакции глубокого расщепления серебра протонами ( $E = 660$  Мэв) на выведенном пучке синхроциклотрона. Изотопы ниобия из материала мишени разделялись (за 3 - 3.5 мин) методом газовой термохроматографии [4]. Доставка мишени на выведенный пучок протонов синхроциклотрона и обратно из пучка в радиохимическую лабораторию осуществлялось с помощью пневмопочты.

Измерения спектров гамма-лучей проводились на гамма-спектрометрах с  $\text{Ge(Li)}$ -детекторами (чувствительные объемы - 0.5, 2.4, 10, 13, 38, 41 и 47  $\text{cm}^3$ , энергетические разрешения - 1.5, 1.5, 3.5, 4.5, 4, 2.3 и 2.3 кэв при энергии 1335 кэв  $^{60}\text{Co}$ , соответственно).

Измерение спектра конверсионных электронов проводилось на безжелезном бета-спектрометре с торOIDальным магнитным полем [5] (разрешение 0.4% при трансмиссии 7%).

Спектр позитронных излучений изучался при помощи бета-спектрометра с  $\text{Si(Li)}$ -детектором (толщина чувствительного слоя  $\text{Si(Li)}$ -детектора 15 мм, площадь - 100  $\text{mm}^2$ ).

Измерения спектров  $\gamma\gamma$ -совпадений проводились с помощью  $\text{Ge(Li)}$ -детекторов с объемами 27 и 41  $\text{cm}^3$ . Разрешающее время спектрометра составляло 50 нсек.

Во второй главе приводятся результаты исследования свойств возбужденных состояний ядер  $^{83}\text{Sr}$ ,  $^{87}\text{Zr}$  и  $^{89}\text{Zr}$ .

### 1. Распад $^{83m}\text{Y}$ (5,5 мин) и $^{83}\text{Y}$ (7,4 мин).

Исследован спектр гамма лучей  $^{83}$ , обнаружено 42  $\gamma$ -перехода, 41 из которых является новым. Уточнен период полураспада  $^{83m}\text{Y}$  ( $T_{1/2} = 5.5 \pm 0.5$  мин). Предлагается схема распада  $^{83m}\text{Y}$  и  $^{83}\text{Y}$  (рис.1.).

В схеме введены новые уровни с энергиями 35,3 (9/2<sup>+</sup>), 489.8, 653.5, 717.2, 743.2, 825.9, 835.0, 881.6, 893.6, 951.3, 962.2, 1238.0, 1370.9, 1433.2, 1498.1 и 1914.6 кэв и уточнены энергии ранее известных уровней [6]. Определены доли  $\beta^+$ -распада и  $\delta$ -захвата на основное и возбужденные состояния  $^{83}$  и вычислены значения  $\lg ft$ .

Уровни с энергиями 35.3 (9/2<sup>+</sup>), 259.4 (1/2<sup>-</sup>), 259.4(1/2<sup>-</sup>), 679.8(3/2<sup>-</sup>) и 980.2(3/2<sup>-</sup>) кэв интерпретируются как одночастичные, определенные нейтронной дыркой с конфигурациями ( $1\frac{9}{2}/2^-$ )<sup>-5</sup>, ( $2p_{1/2}$ )<sup>-1</sup> ( $1g\frac{9}{2}/2^-$ )<sup>6</sup>, ( $2p_{3/2}$ )<sup>-1</sup> ( $1g\frac{9}{2}/2^-$ )<sup>6</sup> и ( $2p_{3/2}$ )<sup>-1</sup> ( $2p_{1/2}$ )<sup>-2</sup> ( $1g\frac{9}{2}/2^-$ )<sup>8</sup>, соответственно. Основное состояние  $^{83}\text{Sr}$  ( $1\frac{11}{2}/2^+$ ) рассматривается как трехчастичное типа  $n(\frac{1}{2}\frac{9}{2}/2^-)^{-5} \frac{7}{2}^+$ .

### 2. Распад $^{87m}\text{Nb}$ (3.8 мин) и $^{87}\text{Nb}$ (2.6 мин)

Изучен спектр гамма-лучей, обнаружены и определены интенсивности 17 переходов, из которых 14 раньше не были известны. Изучен спектр гамма-гамма совпадений. Уточнены периоды полураспада  $^{87m}\text{Nb}$  и  $^{87}\text{Nb}$ . Предлагается схема распада  $^{87}\text{Nb} \rightarrow ^{87}\text{Zr}$  с 8-ю возбужденными уровнями, в том числе 5-ю новыми - 801(7/2<sup>+</sup>, 9/2<sup>+</sup>, 11/2<sup>+</sup>), 914.4 (7/2<sup>+</sup>, 9/2<sup>+</sup>, 11/2<sup>+</sup>), 1087.1 (5/2<sup>-</sup>), 1884.2(7/2<sup>+</sup>, 9/2<sup>+</sup>, 11/2<sup>+</sup>) и 2153.3 кэв (7/2<sup>+</sup>, 9/2<sup>+</sup>, 11/2<sup>+</sup>) (рис.2).

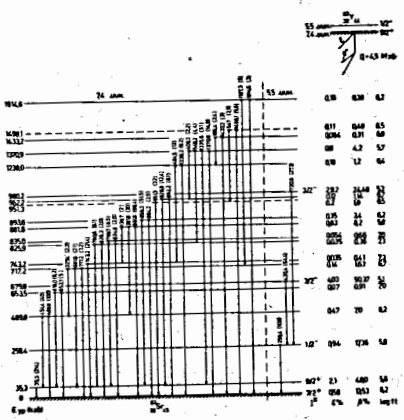


Рис. 1

6

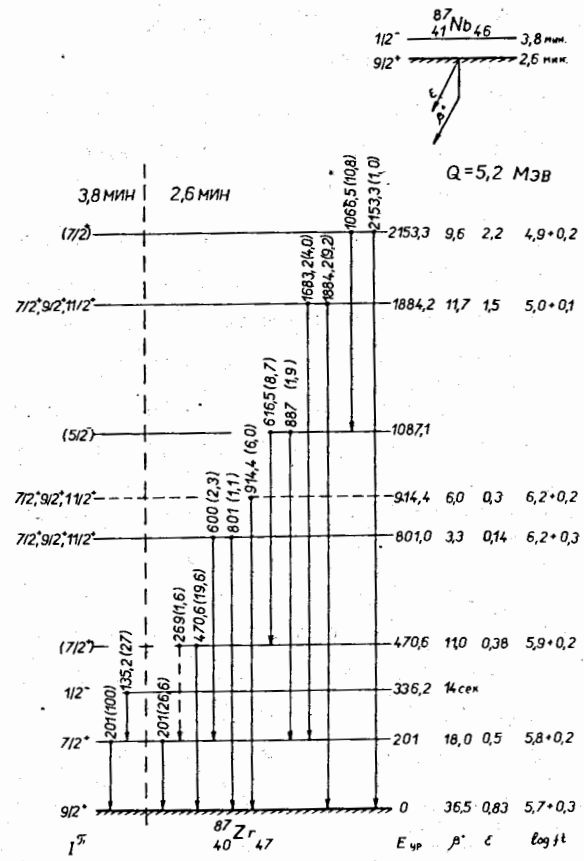


Рис. 2

7

Определены доли  $\beta^+$ -распада и  $\varepsilon$ -захвата на каждый уровень

$^{87}\text{Zr}$  и вычислены значения  $lg ft$ .

Уровни  $0 (9/2^+)$ ,  $336.2 (1/2^-)$  и  $1087.1$  кэв ( $5/2^-$ ) интерпретируются как одночастичные определенные нейтронной дыркой с конфигурациями  $(1g_{9/2})^{-3}$ ,  $(2p_{1/2})^{-1} (1g_{9/2})^8$  и  $(1f_{5/2})^{-1} (1g_{9/2})^8$ , соответственно. На основе значения  $lg ft$  бета-переходов уровни с энергиями  $1884 (7/2, 9/2, II/2)^+$  и  $2153$  кэв ( $7/2, 9/2, II/2)^+$  рассматриваются как одночастичные или трехчастичные состояния с конфигурацией  $n (g_{7/2})^1$  или  $n(p_{1/2})^1 p (p_{3/2})^1 p (g_{9/2})^1$ . Уровень  $201$  кэв ( $7/2^+$ ) интерпретирован как член трехчастичного мультиплета  $n(g_{9/2})^{-3}$ .

### 3. Распад $^{89m}\text{Nb}$ ( $1, 18$ час) и $^{89}\text{Nb}$ ( $1.9$ час)

Измерен спектр гамма-лучей и обнаружено 75 гамма-переходов. Из них 25 наблюдались впервые. Исследовался спектр  $\beta^+$ -излучений и уточнена энергия распада  $^{89}\text{Nb}$  ( $Q_{\beta^+} = 4340 \pm 50$  кэв). Изучены спектры гамма-гамма совпадений. На основе полученных результатов предлагается схема распада  $^{89}\text{Nb}$  (рис. 3). В схему введены 11 новых уровней и уточнены энергии и квантовые характеристики некоторых ранее известных уровней. Определены доли  $\beta^+$ -распада и электронного захвата на каждый уровень и вычислены значения  $lg ft$ .

Уровни  $0 (9/2^+)$ ,  $588 (1/2^-)$ ,  $1095.4 (3/2^-)$  и  $1451.2$  кэв ( $5/2^-$ ) интерпретируются как одночастичные, определенные нейтронной дыркой с конфигурациями  $(1g_{9/2})^{-1}$ ,  $(2p_{1/2})^{-1}$ ,  $(2p_{3/2})^{-1}$  и  $(1f_{5/2})^{-1}$ , соответственно. Состояние  $1511.4$  кэв

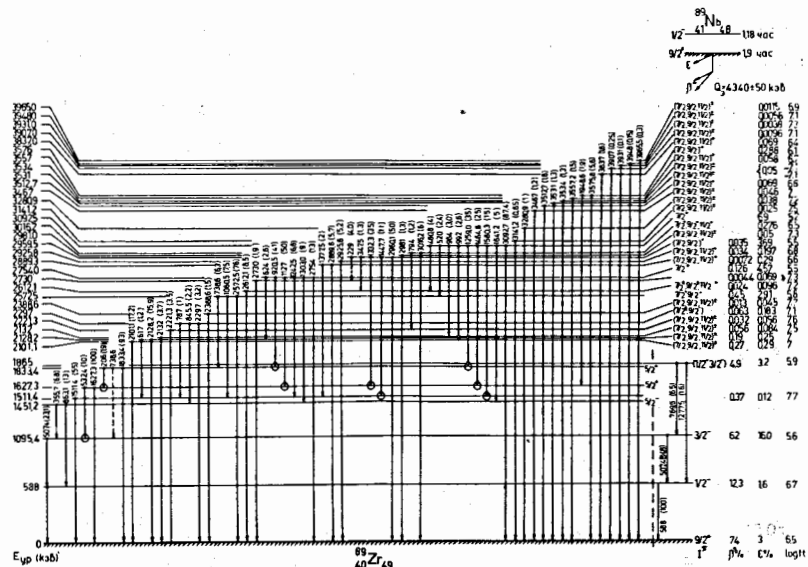


Рис. 3

$(9/2^+)$  заселяется  $\beta$ -переходом при распаде  $^{89}\text{Nb}(9/2^+)$ , со значением  $lg ft = 7.7$ . Такое относительно высокое значение  $lg ft$  для разрешенного бета-перехода можно объяснить связью нейтронной дырки с возбужденным оством  $0^+$  ( $^{90}\text{Zr}$ ). Уровни с энергиями 1627.3, 1833.4, 2128, 2221.3 и 2388.6 кэВ интерпретируются как члены мультиплета, обусловленного слабой связью нейтронной дырки в конфигурации  $I g_{9/2}$  с возбужденным оством  $2^+$  ( $^{90}\text{Zr}$ ). Уровни с энергиями 2527, 2754, 2959.5 и 3092.5 кэВ, на которые идут довольно быстрые  $\beta^+$ -переходы с  $lg ft < 6$ , рассматриваются как одночастичные или трехчастичные состояния с конфигурацией  $n(g_{7/2})^I$  или  $p(p_{3/2})^{-I} p(g_{9/2})^I$   $n(p_{1/2})^{-I}$ .

В третьей главе делаются выводы о структуре низколежащих состояний нечетных ядер, близких к магическому с  $N = 50$ .

Систематизированы энергии низколежащих состояний ядер с  $N = 45, 47$  и  $49$ , времена жизни  $I/2^-$ -состояний и вероятности бета-переходов на уровни с  $I'' = 9/2^+, 7/2^+, 1/2^-$  и  $3/2^-$ . Анализ этих данных позволяет отметить следующее:

1. Почти во всех рассматриваемых выше ядрах нижние состояния характеризуются спинами и четностями  $9/2^+, 1/2^-, 3/2^-$  и  $5/2^-$ .

2. Расстояния между состояниями  $I/2^-, 3/2^-$  и  $5/2^-$  почти одинаковы у ядер с  $N = 45, 49$  и эти состояния с увеличением  $A$  (или  $Z$ ) удаляются от состояния  $9/2^+$ . Это повторяется и в случае ядер с нечетным числом протонов  $Z = 39, 41$  и  $43$ . В простой модели оболочек такое увеличение расстояний между уровнями можно объяснить расширением потенциальной ямы ядра с ростом  $A$ . Но такое

объяснение оказывается недостаточным для большого изменения  $\Delta E_{p\ 1/2 - g\ 9/2}$  от ядра к ядру. Коэн [8] показал, что для  $^{40}\text{Zr}$  и  $^{50}\text{Sn}$  имеется сильное отталкивание между протонами  $g_{9/2}$  и нейtronами  $g_{7/2}$ , возникающее из-за того, что они имеют одинаковые орбитальные угловые моменты. Аналогичное объяснение представляется удовлетворительным для случая ядер с  $N = 45, 47$  и  $49$ , если обратить внимание на то, что увеличение взаимодействия  $n(p_{1/2} p_{3/2}) - p(p_{1/2})$  связано с заполнением протонных оболочек  $p_{1/2}$  и  $p_{3/2}$  при увеличении  $Z$  от 34 до 42.

3) Факторы задержки  $\beta^-$ -переходов между нейтронными состояниями  $I/2^- \rightarrow 9/2^+$  близки к одночастичным оценкам по Шашковскому ( $F_{\text{зад.}} = 0.77 \pm 1.37$ ). Что касается ЕЗ-переходов, то для них факторы задержки  $F_{\text{зад.}} = 17 \pm 137$ . Для таких (ЕЗ) переходов правила отбора по угловым моментам должны относиться не только ко всему ядру ( $I_i - I_f \leq L$ ), но и кциальному нуклону, совершающему переход ( $\delta_i - \delta_f \leq L$ ). Может оказаться, что последнее условие не выполняется ( $\delta$ -запрет). Например, переход ЕЗ между состояниями

$$[(g_{9/2})_{I=0}; p_{1/2}] \rightarrow (g_{9/2})_{I=7/2}^{-3}$$

разрешен по полному моменту ядра ( $I_i - I_f = 3$ ), но запрещен по моменту отдельного нуклона ( $\delta_i - \delta_f = 4$ ). Это приводит к задержке ЕЗ-переходов.

4. Одночастичная вероятность бета-переходов типа  $I/2^- \rightarrow 3/2^-$  и  $9/2^+ \rightarrow 7/2^+$  на порядок больше, чем вероятность переходов типа  $I/2^- \rightarrow 1/2^-$  и  $9/2^+ \rightarrow 9/2^+$ . Абсолютные измеряемые вероятности всех бета-переходов меньше, чем одночастичные вероятности

на 1-2 порядка. Это показывает, что существуют эффекты, которые существенно задерживают скорости бета-распада. Учет смеси конфигураций или парной корреляций уменьшает расхождение между измеренными и расчетными вероятностями бета-переходов.

Итак, низколежащие уровни нечетных ядер, близких к магическому с  $N=50$ , можно интерпретировать как одночастичные состояния.

В четвертой главе приводятся результаты исследований свойств возбужденных состояний  $^{88}\text{Zr}$ , возникающих при распаде  $^{88m}\text{Nb}$  (7.3 мин) и  $^{88}\text{Nb}$  (14 мин). Изучались спектры гамма-лучей, возникающих при распаде  $^{88m}\text{Nb}$ . Наблюдались 95 гамма-перехода, в том числе 82 перехода, ранее неизвестных. Измерены спектры гамма-гамма-совпадений. На основе полученных результатов предложена схема распада  $^{88m}\text{Nb}$  (рис.4). В схему введен 2I новый уровень. Уточнены энергии и квантовые характеристики ранее известных состояний. Вычислены доли  $\beta^+$ -распада на каждый уровень  $^{88}\text{Zr}$  и определены значения  $lg ft$ .

При изучении спектров гамма-лучей  $^{88}\text{Nb}$  ( $8^+$ ) наблюдались 37 гамма-переходов. Из них 28 обнаружены впервые. Изучались спектры гамма-гамма-совпадений и электронов внутренней конверсии. Определены мультипольности гамма-переходов с энергиями 76.7 и 271.4 кэв. Предлагается схема распада  $^{88}\text{Nb}$  ( $8^+$ ), (рис.5). В схему введены 10 уровней, 4 из них являются новыми (3885.5 ( $7,8)^+$ , 4162.5 ( $7,8,9)^+$ , 4609.4 ( $7,8,9)^+$  и 4933.6 кэв ( $7,8,9)^+$ ). Вычислены доли  $\beta^+$ -распада на каждый уровень и значения  $lg ft$ .

Уровни  $^{88}\text{Zr}$  ( $0^+$ ,  $2^+$ ,  $4^+$ ,  $6^+$ , и  $8^+$ ) интерпретируем как двухчастичные состояния с конфигурацией  $p\ (\frac{1}{2}_{9/2})^2 n(\frac{3}{2}_{9/2})^{-2}$ .

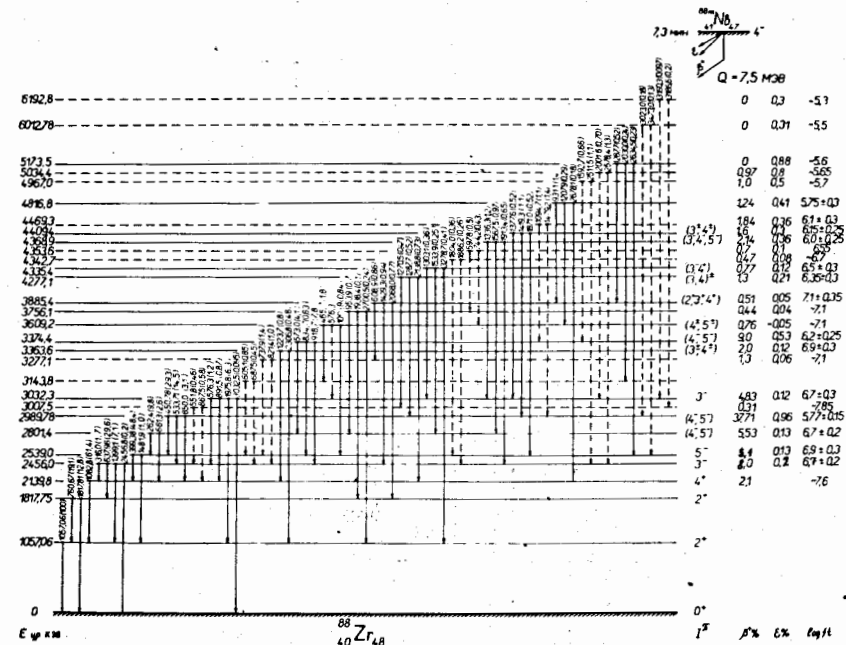


Рис. 4

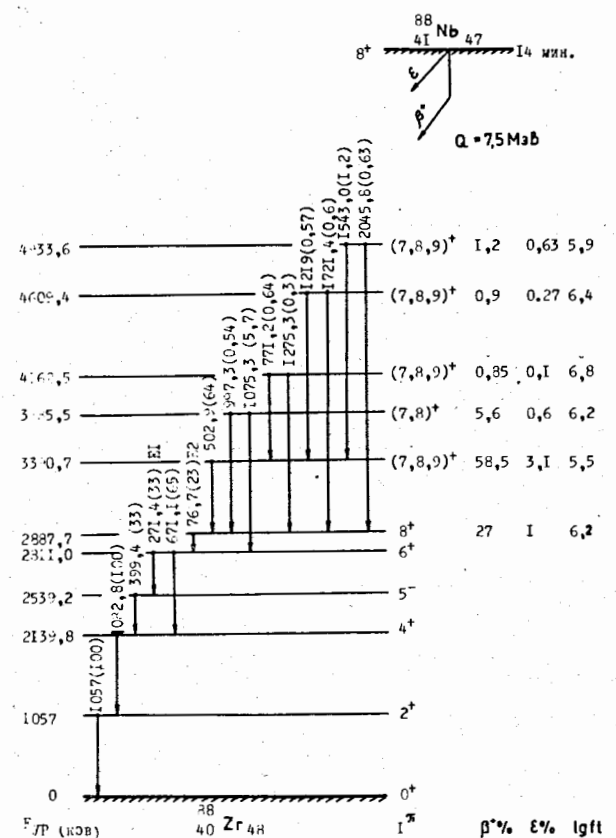


Рис. 5

Уровни с энергиями 2539 (5<sup>-</sup>) и 2989.8 кэв (4<sup>-</sup>, 5<sup>-</sup>) интерпретируются как двухчастичные состояния. Возможно, что эти два уровня относятся к дублету конфигурации  $p(p_{1/2})^1 p(g_{9/2})^3$ . Учитывая, что значение  $Q\beta^-$  для бета-перехода на уровень 3390.7 кэв на 0.7 меньше, чем на уровень 2887.7 кэв (8<sup>+</sup>), мы предполагаем, что данное состояние возбуждается вследствие бета-перехода  $p(g_{9/2}) \rightarrow n(g_{7/2})$ , для которого значения  $Q\beta^-$  всегда значительно меньше [9, 10]. Но тогда это должен быть переход в следующую оболочку и нейтронная конфигурация уровня будет  $n(g_{7/2})^1 n(g_{9/2})^{-3}$ . Также на основе вероятности бета-переходов ( $Q\beta^-$ ) некоторые уровни (3885.5 кэв и 4162.5 кэв) рассматриваются как четырехчастичные состояния. Состояние с энергией 2456 кэв интерпретируется как октупольно-вибрационное.

#### Основные результаты и общие выводы

В диссертационной работе проведены экспериментальные исследования свойств возбужденных состояний ядер  $^{83}\text{Sr}$ ,  $^{87}\text{Zr}$ ,  $^{89}\text{Zr}$  и  $^{88}\text{Zr}$ , возникающих при радиоактивном распаде  $^{83}\text{Y}$ ,  $^{87}\text{Nb}$ ,  $^{89}\text{Nb}$  и  $^{88}\text{Nb}$ , соответственно. Полученные результаты сводятся к следующему:

1. Изучались спектры гамма-лучей при распаде  $^{83}\text{Y}$  и уточнен период полураспада  $^{83m}\text{Y}$ . Предлагается схема распада  $^{83m}\text{Y}$  и  $^{83}\text{Y}$ .
2. Измерены спектры гамма-лучей и гамма-гамма-совпадений при распаде  $^{87}\text{Nb}$ , введены 5 новых уровней в схему распада.

3. Исследовались спектры гамма-лучей, гамма-гамма-совпадений и  $\beta^+$ -частиц при распаде  $^{89}\text{Nb}$ . Уточнена энергия распада  $^{89}\text{Nb}$ . В схеме распада  $^{89}\text{Nb}$  введены II новых уровней.

4. Систематизированы энергии низколежащих уровней ядер с  $N=45$ , 47 и 49, времена жизни  $1/2^-$  - состояний и вероятности бета-переходов. Анализ систематизированных данных показывает, что данные уровни можно рассматривать в рамках модели оболочек как одночастичные состояния.

5. При распаде  $^{88m}\text{Nb}$  и  $^{88}\text{Nb}$  измерены спектры гамма-лучей, гамма-гамма-совпадений и электронов внутренней конверсии. Предлагаются схемы распада  $^{88m}\text{Nb}$  и  $^{88}\text{Nb}$ . В ядре  $^{88}\text{Zr}$  выделены двухчастичные, четырехчастичные и октупольно-вибрационное состояния.

Основные результаты исследований, изложенные в диссертации, докладывались на 22-м совещании по ядерной спектроскопии и структуре атомного ядра (Киев, январь, 1972), 13-м совещании по ядерной спектроскопии и теории ядра (Дубна, июнь, 1973) и 24-м совещании по ядерной спектроскопии и структуре атомного ядра (Харьков, январь, 1974) и были опубликованы в работах [II-16].

#### Литература:

1. К.Я.Громов, Б.С.Джелепов. Сообщение ОИЯИ 6-3997, Дубна, 1968.
2. Г.Музиль, Сообщение ОИЯИ, Р6-4825, Дубна 1969.
3. Г.Музиль, В.И.Райко, Х.Тиррофф. Сообщение ОИЯИ, Р6-4825, Дубна, 1969.
4. Б.Баяр, И.Воцилка, Н.Г.Зайцева, А.Ф.Новгородов, ОИЯИ, Р12-7340, Дубна, 1973.
5. М.Гасиор, К.Я.Громов, В.В.Кузнецов и др. Тезисы докладов на 13-м совещании ядерной спектроскопии и теории ядра, Д6-7094, стр.167, Дубна, 1973.
6. R.W.Berkaw, R.E.Warner, Phys.Rev. C2, 297 (1970).
7. T.Hausman, K.P.Lieb, Phys.Rev. 186, 1229 (1969).
8. B.L.Cohen, Phys.Rev. 127, 597 (1969).
9. К.Александер, Сообщение ОИЯИ, Р6-3785, Дубна, 1968.
10. Л.К.Пекер, Материалы IV зимней школы физ.-тех.института АН СССР по теории ядра и физике высоких энергий, Изд. ЛФТИ, Л., 1969,, стр.163.
11. А.Л.Абдуразаков, А.Баланда, Б.Крацик, М.Тошев, Ф.Хамраев, Чан Тхань Минь, Сообщение ОИЯИ, Р6-6249, Дубна, 1972.
12. И.Воцилка, Б.Крацик, Я.Липтак, А.Ф.Новгородов, М.Тошев, Сообщение ОИЯИ, 6-7177, Дубна, 1973 Изв. АН СССР, сер., №I, 57 физ.т.38, №I, 57 (1974).
13. И.Воцилка, Х.У.Зиберт, Б.Крацик, Я.Липтак, А.Ф.Новгородов, Х.Г.Ортлепп, М.Тошев, В.Хабенихт, Сообщение ОИЯИ, 6-7477, Дубна, 1973; Изв. АН СССР, сер. физ. т.38, №4, 674 (1974).
14. И.Воцилка, Н.Г.Зайцева, Б.Крацик, Я.Липтак, Х.Г.Ортлепп, А.Ф.Новгородов, М.Тошев, В.Хабенихт, Тезисы докладов на 13-м совещании по ядерной спектроскопии и теории ядра, Д6-7094, стр.72, Дубна, 1973.

15. Р.Арльт, Б.Баяр, И.Воцилка, Ц.Вылов, Н.Г.Зайцева, Б.Крацик, Я.Липтак, А.Ф.Новгородов, Ф.Севера, М.Тошев, Сообщение ОИЯИ, 6-6966, Дубна, 1973.
16. Б.Баяр, И.Воцилка, М.Госиор, Н.Г.Зайцева, Б.Крацик, В.В.Кузнецов, Я.Липтак, Г.И.Лизурей, А.Ф.Новгородов, Х.Г.Ортлепп, М.Тошев, В.Хабенихт, Сообщение ОИЯИ, 6-7476, Дубна, 1973; Изв. АН СССР, сер.физ. т.38, №4, 666(1974).

Рукопись поступила в издательский отдел  
2 июля 1974 года.